

II-1 吉野川上流域における流況特性の解析

徳島大学工学部 正員 端野 道夫
松島大学大学院 学生員 ○地紙 满

1. まえがき 本研究は、吉野川上流域の流域面積数 km^2 の小流域について、実流域によく用いられてきた貯留閾値法（以下 S.F.M と略す）と kinematic wave 法（以下 K.W.M と略す）による解析を行い、その流況特性を知ると共に、両者の比較検討を行おうものである。

2. 対象流域の概要 対象流域は図-1

1(a)のごとく吉野川上流の大森川ダム（21.5 km^2 ），長沢ダム（70.0 km^2 ）の二流域とする。K.W.M で解析するにあたり、図-1(b)のように一つの本川と左右両側に單一の長方形斜面を持つ流域にモデル化した。表-1 はモデル化した流域諸定数を示すものである。

$\sin\theta$, $\sin\theta_0$ の値は上田の提案した等価勾配を用いた。¹⁾

3. 解析と考察 図-1(b)のような斜面上と流下する流れに対する K.W.M の基礎式は、

$$\frac{\partial h}{\partial t} + \frac{\partial Q}{\partial x} = R^* \quad , \quad h = R^* P \quad (1)$$

河床部の流れに対しては

$$\frac{\partial A}{\partial t} + \frac{\partial Q}{\partial x} = \beta \quad , \quad A = KQ^P \quad (2)$$

すると $P = \beta S$, $R^* = (A/\sqrt{\sin\theta})^{2/3}$ となり β は斜面傾斜角, A は断面積, Q は流量, x , X はそれぞれ斜面上流端, 河道上流端から距離で, K , P , P は Manning 則が成立するとき $P = 3S$, $R^* = (A/\sqrt{\sin\theta})^{2/3}$ となり β は斜面傾斜角, A は断面積, Q は流量, x , X はそれぞれ斜面上流端, 河道上流端から距離で, K は等価粗度係数である。また, $K = (n/\sqrt{\sin\theta})^{2/3}$ で $n = 3/(2z+3)$ であり n は粗度係数, K_1 , z は徑深 $R = K_1 A^2$ といたときの係数と指数である。これは石原・高柳らが提案している表面流発生場不透としの場合の簡便的な有効降雨強度であり, 次式で与えられる。²⁾

$$R^* = (1 - L_r)(r + \lambda_1) \quad \text{ここで, } L_r = \beta / L = \left(\int_{t_0}^t b \cdot e^{\int_{t_0}^t a ds} dt + 1 \right) e^{-\int_{t_0}^t a dt} \quad (3)$$

β は斜面上流端から表面流発生点までの距離, L は斜面長, a は表面流り生起時刻である。 $a = z(r + \lambda_1)/PD$, $b = z(t_0 + L)/PD$ であり, r は空隙率, D はみかけの表層厚, λ_1 は最大中間流強度, z は表層から下層への浸透能である。大森川, 長沢両流域については $PD = 1.5 \text{ mm}$, $\lambda_1 = 3.78 \text{ mm/hr}^{-1}$, 中間流, 地下水流の低減係数はそれなり $\lambda_2 = 0.028 \text{ hr}^{-1}$, $\lambda_3 = 0.0032 \text{ hr}^{-1}$ を得た。参考までに, 那賀川水系長安ロダム流域 (539 km^2) では $PD = 1.5 \text{ mm}$, $\lambda_1 = 5.18 \text{ mm hr}^{-1}$, $\lambda_2 = 0.045 \text{ hr}^{-1}$, $\lambda_3 = 0.0087 \text{ hr}^{-1}$ である。流域面積がよく似た由良川においてもほぼ同じ値である。対象二流域と比較するとなれば, λ_2 の値にかなり差があるが, 大流域にはれば河道貯留効果の影響が入ってくるためではないかと思われる。しつつでは Horton 型の浸透能方程式を採用し, 図-2 のような累加損失雨量 R_t と降雨継続時間 t の関係を得た。

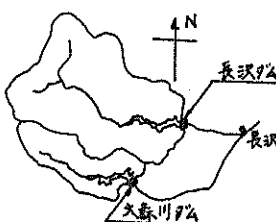


図-1(a) 流域概要

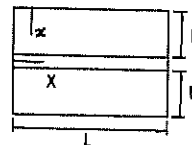


図-1(b) モデル

表-1 流域の諸定数

流域名	流域面積 (km^2)	流域長 $L (\text{km})$	斜面長 $I (\text{km})$	斜面勾配 $\sin\theta$	河床勾配 $\sin\theta_0$
大森川	21.5	10.0	1.075	0.300	0.054
長沢	70.0	15.0	2.333	0.120	0.011

ここに, h = 水深, β = 単位幅あたりの流量, A = 流水断面積, Q = 流量, x , X = それぞれ斜面上流端, 河道上流端から距離で, β , K , P , P は Manning 則が成立するとき $P = 3S$, $R^* = (A/\sqrt{\sin\theta})^{2/3}$ となり β は斜面傾斜角, A は断面積, Q は流量, x , X はそれぞれ斜面上流端, 河道上流端から距離で, K は等価粗度係数である。また, $K = (n/\sqrt{\sin\theta})^{2/3}$ で $n = 3/(2z+3)$ であり n は粗度係数, K_1 , z は徑深 $R = K_1 A^2$ といたときの係数と指数である。これは石原・高柳らが提案している表面流発生場不透としの場合の簡便的な有効降雨強度であり, 次式で与えられる。²⁾

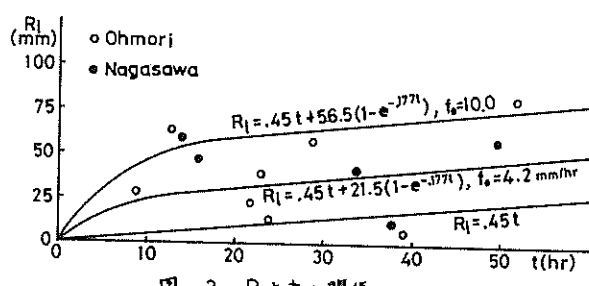


図-2 R_t との関係

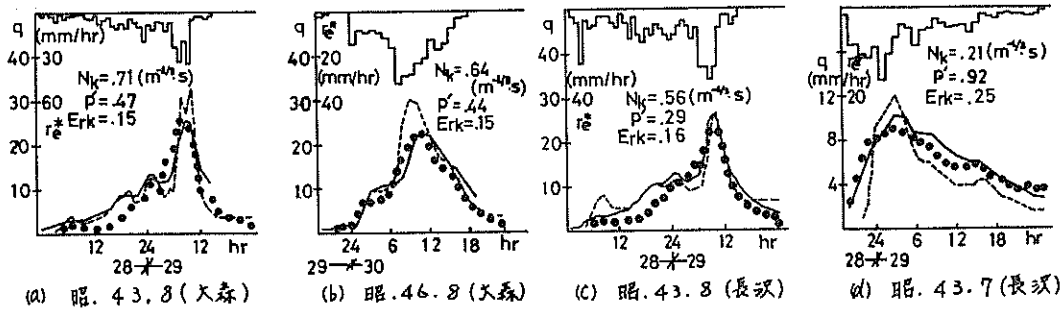


図-3 大森、長沢両流域におけるS.F.MとK.W.Mの解析例

K.W.Mで対象流域の既往10数個の高水について解析し、比較的よく適合していると思われるものを図-3に示す。○印は実測値、破線がK.W.Mによる計算値である。適合性を判定するためには精度 $E_r = \sqrt{(q_c(t) - q_o(t))^2 / T} / q_{max}$ を定義する (q_c =計算値, q_o =実測値, $T = q_o$ の資料数) と、他の高水についてもS.F.Mでの精度は $E_r = 0.3 \sim 0.5$ くらいでピーク流量、ピーク時間にもかなりのずれがあつた。K.W.Mは単純な山の高水には適合性が良いが、複雑な形は表わし得ない。K.W.Mによる精度である。一方、S.F.Mの基礎式は次式で与えられる。

$$\frac{ds_e}{dt} = r - g_e, \quad s_e = f_e' g_e^r, \quad g_e = g_o(t + T_e) \quad (4)$$

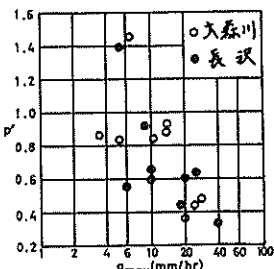


図-4 P' と q_{max} の関係

ここに、 s =時刻tにおける貯留量、 r 、 P' =定数、 T_e =遅滞時間でサフィックスeは T_e を考慮したものであることを示す。図-3中の実線がS.F.Mで解析した結果である。他の高水についてもS.F.Mでの精度は $E_r = 0.1$ 前後の値でK.W.Mに比べるとむしろ良い適合性を表わしていることがわかる。式(4)中の指數 P' には主として流速に対する流域の抵抗形態が反映するとと思われる。特に、ピーク流量に関する平均降雨強度、したがってピーク流量 g_{max} との関係を調べると図-4のようであり g_{max} の増加と共に P' は小さくなる傾向が認められる。さて、K.W.Mによる精度が悪いのは中間流と表面流に対してManning則を仮定したことによる原因であろうと思われ、こうした理由により実流域の中間流と表面流の共存場にも用いられるようには(5)式のような概念的抵抗則を提案していく。³³⁾⁴⁾この抵抗則の下では等価抵抗係数Fと等価粗度係数Nsは(6)式のようである。

$$u = \frac{1}{F} U^{(1-2\gamma)/3} g^{(1+\gamma)/3} I^{2\gamma(1-2\gamma)/3+1} h \quad (5)$$

$$F = I^{\varphi} \left\{ t_p (Ug)^{4/3} / L \cdot (g_{max} L / u)^{4-P'} \right\}^{4/P'} \quad (6)$$

$$N_s = F^{5P'/3} U^{1/4} g^{-5/4} I^{(3-10P'/9)/6} (g_{max} L / u)^{(5P'-3)/3} \quad (6)$$

ここに、 U =平均流速、 γ =指数、 h =水深、 t_p =到達時間、 $\varphi = 1 + \gamma/3(1-P')/(3-P')$ である。小流域では表面抵抗に対して斜面の影響が大きいので勾配Iとして斜面勾配、長さLには斜面長を採用し図-3の各高水に対する N_s の値を計算すれば(a)0.71, (b)2.1, (c)0.38, (d)1.7である。こうした結果から考えて、S.F.Mによる等価粗度係数の算定法は妥当なものと思われる。

4. あとがき K.W.Mの精度が悪かったのは自体の仮定の適用範囲、浸透能方程式、分割方法が問題であると思われる。今後、この点についての検討を進めると共に、S.F.Mの精度よく適合できる利点を用い、S.F.

MとK.W.Mの有機的関連づけを行ひ、より実用的解析法を開発することが重要であると思われる。

参考文献 1)上田洋比古; 流出観察よりみた河川の等価勾配について, 九大工芸報第34巻第1号(昭36.9)

2)石原謙・石原富・高橋・頼; 由良川の洪水特性に関する研究, 京大防災研年報第5号A(昭37.3)

3)端野道夫; 流出機構から見た流域の貯留特性と等価抵抗係数, 第28回年次講演会講演集(昭48.10)

4)M. Hashino; Analysis of Runoff Regime by Storage Function Method and Equivalent Friction

Factor, Bulletin of Faculty of Engineering, Tokushima University, vol. 1.10
Jan. 1974